

大阪大学工学部 正員 出口一朗  
大阪大学工学部 正員 榎本 亨

① はじめに : 漂砂の移動形態には大別して掃流状態の移動と浮遊状態の移動があることはよく知られている。両者の見掛上の相異点は、その移動速度及び濃度が大きく異なる点にある。従来種々の方法で漂砂移動量の定量化が計られているが、現在のところこのような差異を明確にヒリこんだ表現は行なわれていない。

さらに浮遊漂砂は掃流状態の漂砂移動が境界条件となって生ずるものであるという立場に立って考えれば、浮遊砂濃度の決定にも重要な問題となる。この境界条件の与え方にはフランクスで与える方法あるいは濃度で与える方法等が提案されているが、いずれにしても掃流漂砂の挙動を十分に解析しておく必要がある。

従来、掃流漂砂の運動に対しては、海底砂に作用する種々の流体力を考慮した Lagrange 的な解析が行なわれているが、これによると海底表層の粒子の運動しか解析できない。そこで著者はこのような欠点を是正するため掃流漂砂に対する見方を変えて、底層砂層が仮想的な粘性係数をもつ Newton 流体と考へ、Euler 座標で境界層方程式を解くことにより掃流砂移動速度及び移動層厚の解析を行なった。ついで得られた結果と Madsen-Grant の掃流砂公式<sup>2)</sup>から掃流砂濃度を計算し、実験結果と比較することによってその妥当性の検討を行なった。

② 掃流砂運動の解析 : 掃流漂砂の運動を解析するにあたり次の仮定を設けた。i) 海底砂層は  $\mu_s$  という仮想的な有効粘性係数をもつ Newton 流体とする、ii) 砂層はその上部の流体運動による境界せん断力及び圧力勾配によって運動する、iii) 砂層上の流体運動は簡単のため層流状態を考へ、主流の運動に対して微小振幅理論を適用する。この時、砂層表面を  $z=0$  とし、鉛直上方に  $x$  軸をとった座標系において主流 ( $z \rightarrow \infty$ )、境界層内 ( $z > 0$ ) 及び砂層 ( $z \leq 0$ ) に対する運動方程式はそれぞれ

$$\frac{\partial u_s}{\partial t} = -\frac{1}{\rho} \frac{\partial p}{\partial x} \quad (1), \quad \frac{\partial u_s}{\partial t} = -\frac{1}{\rho} \frac{\partial p}{\partial x} + \nu \frac{\partial^2 u_s}{\partial z^2} \quad (2), \quad \frac{\partial u_{sb}}{\partial t} = -\frac{1}{\rho_s} \frac{\partial p_s}{\partial x} + \nu_s \frac{\partial^2 u_{sb}}{\partial z^2} \quad (3)$$

と表わされる。ここに  $\rho_s = (1 - \bar{c}_b) + 2.56 \bar{c}_b$  は水及び砂層の単位体積質量、 $\bar{c}_b$  は時間平均された砂層濃度、 $\nu_s$  ( $= \mu_s / \rho_s$ ) は水及び砂層の動粘性係数、 $u_{s0}$  は境界層外縁流速、 $u_s$  及び  $u_{sb}$  は流体及び砂層の速度である。また砂層中の圧力  $p_s$  の振幅  $\hat{p}_s$  に対しては Sleath<sup>2)</sup> によって提案されている

$$\hat{p}_s = (\rho g H / 2) (\cosh(k(x - Kz)(z + \delta_b)) / \cosh kR / \cosh(k(x - Kz)\delta_b)) \quad (4)$$

を用いた。ここに  $\delta_b$  は砂層厚、 $H$  は水深  $R$  における波高、 $k = 2\pi/L$  ( $L$ : 波長) で、 $x$  及び  $z$  方向の透水係数の比  $Kx/Kz$  については 1.2 (一定) とした。

境界条件は  $z = \infty$  で  $u_s = u_{s0}$ 、 $z = 0$  で  $u_s = u_{sb}$  及び  $\mu (\partial u_s / \partial z) = \mu_s (\partial u_{sb} / \partial z)$ 、 $z = -\delta_b$  (移動層厚) で  $u_{sb} = 0$  という 4 つの条件である。なお (1)~(3) 式を解くにあたり、 $\mu_s / \mu$  及び  $\delta_b$  が未知量として残る。そこで  $\mu_s / \mu$  に対しては高濃度の懸濁物質を含む流体に対しては有効である Elies<sup>3)</sup> によって提案される

を用いる  $\mu_s / \mu = (1 + 2.5 \bar{c}_b / (2 - 1.25 \bar{c}_b))^2$  を用いた。(Einstein の式を用いると  $\mu_s / \mu$  は最大 2.3 程度にしかなり得ないが、著者が以前移動床上の波高減衰率から求めた  $\mu_s / \mu$ <sup>4)</sup> は  $2 \times 10^4 < \hat{u}_{s0} T / \nu < 10^5$  の範囲に対して 5~6 程度の値をとることが確認されている。) 一方、 $\delta_b$  は砂層間に発生するせん断力が砂層内のせん断抵抗よりも大きい領域の厚さと考え、

$$\mu_s (\partial u_{sb} / \partial z) \geq d (\rho_s - \rho) g \bar{c}_b \tan \phi \times N \quad (5)$$

を満足最大の整数  $N$  を移動層数として決定し、(1)~(3) 式の解が (5) 式を満足す

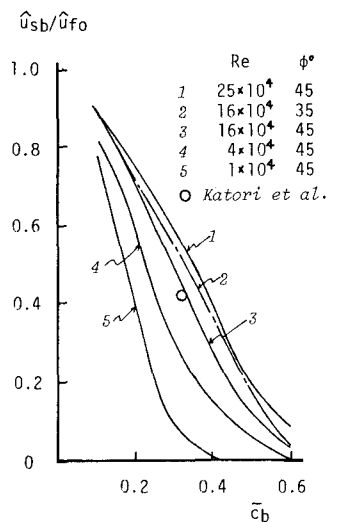


図-1

るまで繰返し計算を行なった。ここに  $d$  は底質中央粒径,  $\phi$  は砂の内部摩擦角である。

**3 掃流漂砂移動速度及び移動層厚について** : 図-1 は  $\bar{C}_b$  ( $M_s$ ) を水深方向には一様として先に述べた方法で計算した砂層速度と境界層外縁流速の振幅の比  $\hat{u}_{sb}/\hat{u}_{s0}$  をレイノルズ数  $Re = \hat{u}_{s0}^2 \cdot T/\nu$  及び  $\phi$  をパラメータに示したものであり、(4)式中の  $P/\rho g H$  は  $0.4$  ( $R=15\text{ cm}$ ,  $H=10\text{ cm}$ ,  $T=1.28\text{ sec}$ ) とした場合の結果である。また図-2 は図-1 と同じ計算条件で  $d=0.01\text{ cm}$  の場合の各  $\bar{C}_b$  に対する  $\delta_b$  を示してある。 $\delta_b$  は当然位相によって変化するが図に示してある結果は(5)式中の  $U_{sb}$  にその振幅を用いて求めたものであり、位相変化する  $\delta_b$  のほぼ最大値に相当する。まず図-1 より  $\hat{u}_{sb}/\hat{u}_{s0}$  は  $Re$  の増加あるいは  $\bar{C}_b$  の減少にともない単調に増加する二つがわかる。一方、図-2 より明らかなように  $\delta_b$  も  $Re$  の増加にともなって単調に増加するが、 $Re$  が等しい場合は  $\bar{C}_b \geq 0.2$  の領域において  $\bar{C}_b$  の増加にともない直線的に減少する。さらに図-1 及び図-2 に示す  $Re=16 \times 10^4$ ,  $\phi=35^\circ$  及び  $45^\circ$  の場合の計算結果を比較して明らかなように底質砂層の内部摩擦角  $\phi$  は  $\delta_b$  に対してより直線的に影響するのに対し、 $\hat{u}_{sb}/\hat{u}_{s0}$  に対しては砂層内の境界条件 ( $\delta_b$ ) が変化するこゝによって若干変化する程度の影響しか与えていない。また、図-1 には香取ら<sup>5)</sup> がシートフロー状態の漂砂移動 ( $\bar{C}_b=0.2 \sim 0.4$ ,  $Re=50 \times 10^4$ ) に対して測定した振幅比も示してあるが、今回の計算結果は香取らの実験結果と比較して若干  $\hat{u}_{sb}/\hat{u}_{s0}$  を過大評価しているようにみえる。今回行なった計算においては(1)~(3)式を解析的に解くために、 $\bar{C}_b$  を水深にはかかわらず一定としたが、実際には砂層表面から静止砂層の範囲で変化するこゝから、計算の精度を上げるには今後  $\bar{C}_b$  の砂層内での変化を考慮する必要がある。

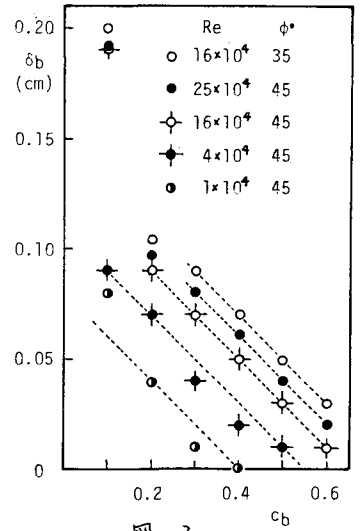


図-2

**4 掃流砂濃度について** : 先に述べたように  $\hat{u}_{sb}$  及び  $\delta_b$  は  $\bar{C}_b$  がパラメータとなって計算される。本来  $\bar{C}_b$  に対しては海底砂層上の水粒子運動と関係づけた議論をすべきであるが、ここでは(1)~(3)及び(5)式から計算される  $\hat{u}_{sb}$  及び  $\delta_b$  から flux とし求めた掃流砂量と、既往の掃流漂砂量公式とを等値することによって  $\bar{C}_b$  を決定してみよう。 $\hat{u}_{sb}$  及び  $\delta_b$  を用いると半周期平均された漂砂量  $\bar{Q}_b$  は次式で表わされる。

$$\bar{Q}_b = \hat{u}_{sb} \cdot C_b \cdot \delta_b / \pi = \hat{u}_{s0} \cdot F(\bar{C}_b, Re, \tan \phi) / \pi \quad (6)$$

一方、既往の掃流漂砂量公式としてはすでにその妥当性が認められている Madsen-Grant 式、(7)式を用いる。

$$\bar{Q}_b = 12.5 \omega_0 d^3 \chi_m = \frac{1}{2} \rho g \hat{u}_{s0}^2 / (\rho g - 1) g d \quad (7)$$

ここに  $\omega_0$  は沈降速度,  $\chi$  は friction factor である。

図-3 は(6)式と(7)式を等値して求まる  $\bar{C}_b$  と  $\phi' = 1.25 \pi \rho \times \omega_0 d / \hat{u}_{s0}$  の関係を  $Re$  をパラメータに示したものである。但しこの場合、 $\phi = 45^\circ$  としてある。図中には、 $2 \times 10^4 < Re < 50 \times 10^4$  の範囲内で測定された  $\bar{C}_b$ <sup>6)</sup> も示してある。図から明らかなように測定結果にみられる  $Re$  及び  $\phi'$  の変化にともなう  $\bar{C}_b$  の変化の様子は計算結果においてもよく再現されていることがわかる。

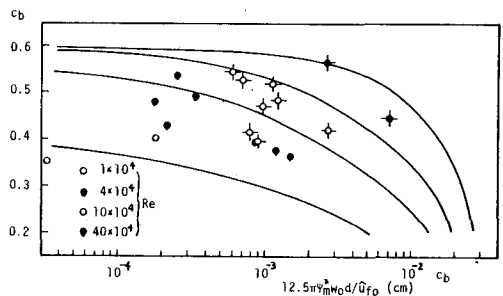


図-3

参考文献 : 1) Madsen et al., Quantitative description of Sediment transport by waves, Proc. 15th ICCE, 1976

- 2) Sleath, Wave-induced pressures in beds of sand, Proc. A.S.C.E. HY2, Feb. 1970  
 3) Daily, 粒子を懸濁した水の流れ, 土木学会誌 6月号, 1964  
 4) 出口ら, 漂砂移動に伴う波高の減衰効果, 第32回年講概集, 昭和52年  
 5) 香取ら, シートフロー状態の底質移動に関する研究, 第27回海講, 1980  
 6) 榎本亨, 不規則波による海波変形と予測手法の開発, 科研(一般B) 研究成果報告書, 昭和58年